

ケーブルで補剛された3径間連続梁の塑性崩壊について

大阪大学 工学部 正員 前田 幸雄
大阪大学 工学部 学生員○迫田 治行

まえがき 本研究は3径間連続梁をケーブルで補剛したいわゆる斜張橋タイプの構造に対する塑性崩壊性状について数値計算及び模型実験により研究したものである。

数値計算。

(1). 解析法 数値計算で用いた解析法は線形化有限要素法を取り入れた荷重増分法による有限要素法(変位法)である。塑性域の取り扱いにより次に示す手法を用いたが、その各々の剛性行列の具体的な内容は文献(1)及び(2)に示されたものを用いた。

(a) 塑性剛筋法⁽¹⁾(解法1) (b) 塑性域の広がりを考慮した弾塑性解析法⁽²⁾(解法2)

(2). 仮定 数値計算で次の仮定を設けた。

(a) 局部座屈等の不安定現象は塑性域にあり生じない。

(b) 降伏に及ぼす剪断力の影響は無視する。

(c) 材料の完全弾塑性材料とする。

(3). 構造形式及び部材断面 モデルとして

現存の斜張橋は局部座屈等の問題で塑性設計は不可能であるので Fig. 1 に示す様な支間長 20m + 50m + 20m を有する 4 種類の構造モデルを考え、仮定した断面を Table-1 及び Fig. 2 に示す。

いずれの形式も塔基部で地面に上シジ結合であり、アーチは全て同じ伸び剛性を有し、斜行及び塔に上シジ結合されたものとする。又塔では塑性崩壊は生じないものとする。

(4) 変化パラメータ

(a) ケーブル剛性 $[K = EiA'/(M_p/l_c)]$

(b) 荷重ゲース $[W_c/W_s]$

W_c , W_s は各々中央径間に側径間に載荷する等分布荷重を示し、 EiA' , M_p , l_c は各々ケーブル剛性、主析の全塑性モーメント及び中央支間長を示す。

Table - 1

Main Girder	$E=2.1 \times 10^6 \text{ kg/cm}^2$, $\sigma_y=2400 \text{ kg/cm}^2$ Section — 12WF190
Tower	$E=2.1 \times 10^6 \text{ kg/cm}^2$, $\sigma_y=2400 \text{ kg/cm}^2$ (a) $A=0.056 \text{ m}^2$, $I=0.002 \text{ m}^4$ (for R-8, H-8) (b) $A=0.12 \text{ m}^2$, $I=0.015 \text{ m}^4$ (for R-16, H-16)
Cable	$E=2.0 \times 10^6 \text{ kg/cm}^2$, $\sigma_a=15000 \text{ kg/cm}^2$

* E , σ_y , σ_a = Modulus of elasticity, Yield stress and Allowable stress

* A , I = Section area and Moment of inertia

Fig. 1 Structure-Types

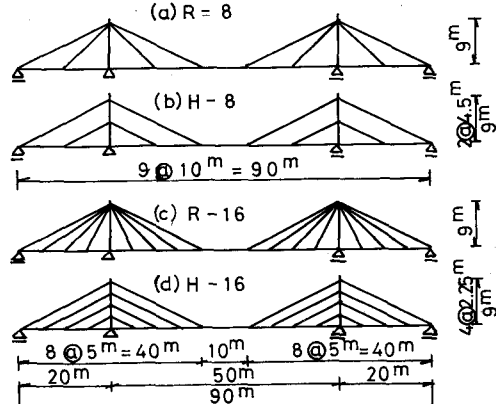
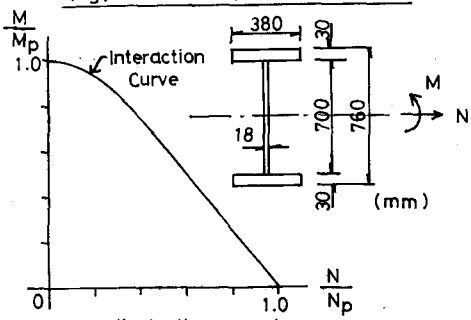


Fig. 2 Main Girder (12 WF 190)



M_p = Fully Plastic Moment

N_p = Yield Axial Force

(5) 結果と考察 Fig. 3 は全載荷分 $\frac{W_c L_c^2}{M_p}$ に対する塑性崩壊荷重を示し、

Fig. 4 は特に R-8 タイプに肉しての荷重と中央径向の中央におけるたわみ (δ_c) との関係を示す。Fig. 5 は荷重比 W_c/W_s に対する塑性崩壊荷重を示す。

Radial タイプと Harp タイプより塑性崩壊荷重が極めて大きく、いずれの形式においてもケーブル剛性を大きくすると塑性崩壊荷重は増加するが、その増加割合はケーブル剛性が小さくなる域で著しく、ケーブル剛性がある程度以上になると極めて減少する。通常この様な構造形式ではケーブル剛性を増すと主折曲げエントは減少するが主折軸力が増加し、この両者の兼ね合いで最終荷重が決まるが、ケーブル剛性を増した場合主折曲げエントの減少率に対し主折軸力の増加割合が卓越して上述の様な現象が生じるものと思われる。

又同じ形式でもケーブル本数を増し、
其割合には塑性崩壊荷重の向上が見
れたり。

荷重比 W_c/W_s の相違により塑性崩壊荷重は大して変わらない (Fig. 5)。

これに塔のロッキング作用により塔を介してケーブル力が伝達されたりと云ふのである。图 K に示されるのが最終崩壊は一般に主折軸力が小さい場合は中央径向中央付近で生じるが、主折曲げエントに対して主折軸力が卓越していくとその位置は次第に中央支持点付近及び側径向に移る。この傾向は Radial タイプの場合は特K著しが、又が、Harp タイプでは主折軸力がかなり小さく場合でも中央支持点付近で最終崩壊が生じる。これはケーブル傾斜角の内角で Radial タイプより Harp タイプの方が一般に主折軸力が大きいためである。又解析法に肉しては、塑性域の広がりを考慮しても塑性崩壊法による結果と大いに差異がないが、(Fig. 4)。

あとがき 本文では数値計算結果について述べたが、模型実験結果については当日スライドにて報告する予定である。

- 参考文献 (1) 上田他 “マトリックス法による骨組構造物の弾塑性解析” 日本造船学会論文集 126号 (1969)
(2) 藤田他 “構造物の塑性設計 (その10)” 日本造船学会論文集 126号 (1969)